

## КРАТКИЕ СООБЩЕНИЯ

УДК 551.521.32

И.В. Пташник

# Димеры воды: «неизвестный» эксперимент

Институт оптики атмосферы СО РАН, г. Томск

Поступила в редакцию 9.03.2005 г.

Показано, что известный эксперимент Бёрча по измерению поглощения водяного пара в области 3000–4200  $\text{см}^{-1}$  является достоверным доказательством существенного вклада димеров воды в континуальное поглощение в данном спектральном диапазоне.

Несмотря на десятилетия интенсивных исследований, роль димеров воды (ДВ) (короткоживущих кластеров, состоящих из двух молекул воды) в радиационном балансе атмосферы по-прежнему остается спорным вопросом. По разным оценкам ДВ могут давать вклад от 0,5 до 1,5% от полного поглощения солнечной радиации в атмосфере [1–3]. Согласно же расчетам постоянной димеризации, сделанным в работе Голдмана и др. [4], вклад ДВ в поглощение радиации в атмосфере может быть в 1,5–2 раза больше, чем приведенные выше оценки.

Димеры воды представляют также интерес с теоретической точки зрения. Неоднократно ДВ обсуждались в контексте их возможного вклада в континуальное поглощение водяного пара [5, 6], ввиду того что зависимости поглощения ДВ от температуры и от давления водяного пара, согласно теории, аналогичны таковым для континуума самоуширения (далее в тексте под континуумом воды будет подразумеваться только его часть, обусловленная самоуширением).

Согласно модели континуума CKD (Clough, Kneizys, Davies) [7] отклонение спектральной зависимости поглощения в крыльях линий воды от контура Лоренца (которое и определяет континуальное поглощение) обусловлено продолжительностью времени столкновения молекул воды. Ввиду того что кластер ДВ может быть, до определенной степени, описан как две молекулы воды с длительным временем столкновения, различия между этими двумя явлениями в значительной мере сглаживаются.

В появившейся недавно версии CKD континуума – MT\_CKD [8] континуальное поглощение воды объясняется авторами совокупностью двух факторов: 1) дальными крыльями линий, соответствующими «разрешенным» переходам, и 2) сильно уширенными линиями переходов, индуцированных столкновениями («collision-induced transitions»), т.е. обусловленных появлением короткоживущего дипольного момента на время столкновения. Причем второй механизм, по мнению авторов, дает основной вклад в континуальное поглощение в центрах полос поглощения (см., например, [9, 10]). Как и ранее в [7], авторы MT\_CKD-модели конти-

нуума отрицают возможность существенного вклада ДВ в континуальное поглощение, признавая лишь возможность отдельных слабых спектральных «подписей» димеров (как, например, особенность поглощения в области 930  $\text{см}^{-1}$ , упоминаемая в [10]). Основным аргументом в пользу этого выдвигается тот факт, что измеренная в работах Бёрча [11, 12] (а также в более точных недавних измерениях Тобина [13]) спектральная зависимость континуального поглощения в ИК-полосах водяного пара хорошо коррелирует с селективным поглощением мономеров воды (МВ).

Под «хорошей корреляцией» подразумевается отсутствие характерного для димерных полос «красного» сдвига по отношению к центрам колебательных полос МВ и обусловленного «демпфирующими» влиянием водородной связи между молекулами воды на их колебательные частоты.

Несмотря на активные исследования, посвященные ДВ, первые сообщения о регистрации поглощения ДВ в атмосфере [14] и в лабораторных условиях [15] при давлении паров воды, близком к атмосферному, появились совсем недавно. (Физико-химические свойства ДВ и их спектральные характеристики изучались ранее только на димерах, получаемых «искусственным» путем с помощью ультразвуковых сопел или в газах при сверхнизких температурах).

Результаты этих экспериментов, однако, не являются строго однозначными и, в принципе, допускают до некоторой степени двойную интерпретацию. С другой стороны, проведенный нами анализ позволил обнаружить еще одну экспериментальную работу, ставшую классической, где было обнаружено неселективное поглощение, очень хорошо совпадающее с современным расчетом [16] для ДВ. Это работа Бёрча [17], в которой приводятся результаты лабораторных измерений континуального поглощения водяного пара в области полосы 3000–4200  $\text{см}^{-1}$ . Несмотря на то что сам автор [17] был не склонен приписывать обнаруженное им несоответствие между остаточным поглощением и имеющейся на то время моделью континуума димерам воды, проведенный нами анализ свидетельствует об обратном.

На рисунке приведены следующие спектральные зависимости:

а) свертка спектра коэффициента поглощения водяного пара, рассчитанного на основе базы параметров спектральных линий HITRAN-2004 [18] и MT\_CKD модели континуума, с аппаратной функцией, используемой в эксперименте [17], а также сглаженный вид этого спектра;

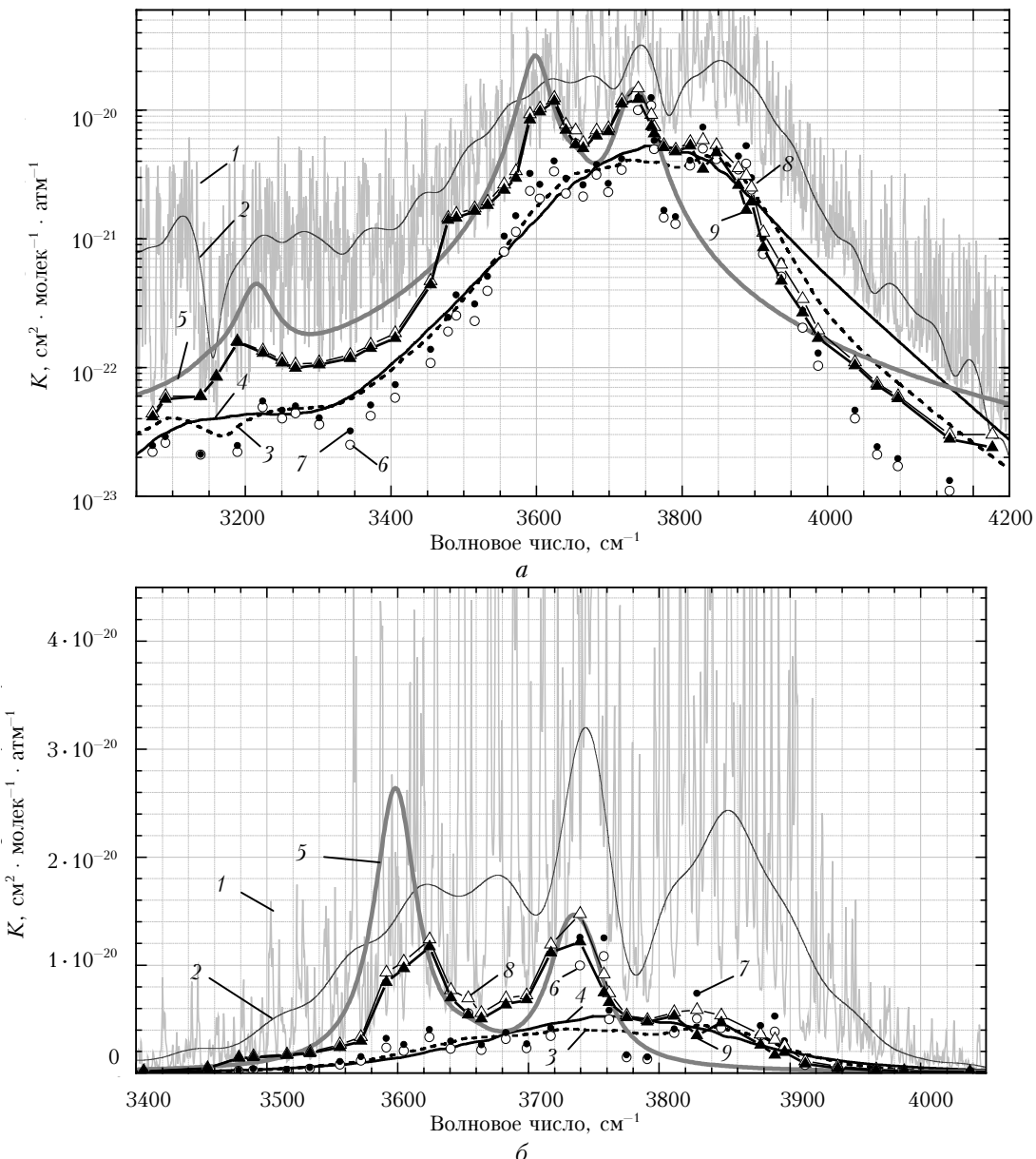
б) коэффициенты поглощения двух последних версий модели континуума CKD: CKD-2.4 [10] и MT\_CKD [8];

в) поглощение ДВ, рассчитанное на основе интенсивностей полос, полученных *ab initio* в [16],

постоянной димеризации  $K_{eq} = 0,04 \text{ атм}^{-1}$  (согласно [15] для температуры 296 К) и полуширина полос поглощения димеров 25, 20 и 20  $\text{см}^{-1}$  (соответственно слева направо на рисунке);

г) монохроматические коэффициенты поглощения МВ в микроокнах прозрачности, полученные авторами [17] на основе базы спектральных линий AFGL [19] и рассчитанные нами с использованием HITRAN-2004 (оба расчета используют только фойгтовский контур линии и не учитывают континуальное поглощение);

д) эмпирические коэффициенты континуального поглощения, полученные в [17] из отношения



В логарифмической (а) и в линейной (б) шкалах приведены спектры коэффициентов поглощения в микроокнах прозрачности в участке 3000–4200  $\text{см}^{-1}$ , выбранные согласно работе Бёрча [17]. Кривая 1 – HITRAN-2004 + MT\_CKD ( $\Delta\Phi = 0,4 \text{ см}^{-1}$  – полуширина треугольной аппаратной функции, использованной в [17] и в нашей работе при моделировании данного спектра); 2 – HITRAN-2004 + MT\_CKD (сглаженный); 3 – CKD-2.4; 4 – MT\_CKD; 5 – димеры воды [16] ( $K_{eq} = 0,04 \text{ атм}^{-1}$ ); 6 – монохроматическое поглощение (AFGL [18], Фойгт); 7 – монохроматическое поглощение (HITRAN-2004, Фойгт); 8 – эмпирический континуум (Burch [17]); 9 – эмпирический континуум (коррекция)

измеренного пропускания к пропусканию, рассчитанному на основе параметров линий AFGL [19] и контура Фойгта с учетом аппаратной функции, а также скорректированные эмпирические коэффициенты с учетом обновления параметров линий в HITRAN-2004 по сравнению с базой данных AFGL.

Анализируя приведенные спектры, можно сделать следующие выводы.

1. Несмотря на то что измерения [17] были использованы в [7] для построения первой CKD-модели континуума, ни одна из версий этой модели, включая последнюю, не описывает большей части обнаруженного в [17] континуального поглощения.

2. Эмпирический континуум Бёрча превышает CKD-2.4 и MT\_CKD-континуум в среднем в 3–4 раза в спектральной области  $3150\text{--}3750\text{ cm}^{-1}$  и меньше величины континуума в этих моделях соответственно в 1,5–2 и 2–3 раза в области  $3900\text{--}4200\text{ cm}^{-1}$ . При этом в области  $3150\text{--}3800\text{ cm}^{-1}$  эмпирический континуум Бёрча демонстрирует спектральные особенности с центрами около 3200, 3610 и  $3730\text{ cm}^{-1}$ , очень хорошо совпадающие с предсказанными в [16] полосами ДВ соответственно  $|0\rangle_1|0\rangle_2$ ,  $|0\rangle_1|1\rangle_2|0\rangle$  и парой близкорасположенных полос  $|1\rangle_1|0\rangle_2|0\rangle$  и  $|10\rangle_1|0\rangle$  (обозначения приведены согласно [16]).

3. Аналогично расчетным полосам ДВ все указанные максимумы поглощения имеют  $10\text{--}30\text{ cm}^{-1}$  сдвиг в ИК-область спектра по отношению к спектру поглощения мономеров воды (см. слаженный спектр мономеров), что подтверждает их «димерную» природу.

4. Следует ожидать, что полоса ДВ  $|0\rangle_1|1\rangle_2|0\rangle$  (центр около  $3600\text{ cm}^{-1}$ ) должна иметь меньшую интенсивность, чем предсказано в [16], и меньший сдвиг в ИК-область спектра. Особенность континуального поглощения в области  $3490\text{ cm}^{-1}$  обусловлена, по-видимому, также димерной полосой (не описанной в [16]) ввиду ее заметного сдвига ( $\sim 20\text{ cm}^{-1}$ ) в ИК-область относительно аналогичной особенности в поглощении мономеров воды.

Следует отметить также, что значение постоянной димеризации ( $0,04\text{ atm}^{-1}$ ), использованное в данной работе для моделирования поглощения ДВ в полосе  $3000\text{--}4200\text{ cm}^{-1}$ , находится в хорошем соответствии с величиной, использованной в работе [15] для описания ДВ в полосе  $5000\text{--}5600\text{ cm}^{-1}$ .

Из рисунка видно, что неконтинуальная часть поглощения (см. монохроматические коэффициенты поглощения в микроокнах прозрачности), т.е. расчет с использованием только лоренцевского контура, дает, в основном, существенно меньший вклад в полное поглощение в выбранных микроокнах прозрачности в данном спектральном диапазоне. Это подчеркивает высокую достоверность данных измерений в плане определения величин континуального поглощения.

Таким образом, можно утверждать, что рассмотренный эксперимент Бёрча [17] является наиболее достоверным на сегодня доказательством

существенного вклада ДВ в континуальное поглощение водяного пара.

Работа выполнена при поддержке Российского фонда фундаментальных исследований (грант № 04-05-64569-а).

1. Vaida V., Daniel J.S., Kjaergaard H.G., Goss L.M., Tuck A.F. Atmospheric absorption of near infrared and visible solar radiation by the hydrogen bonded water dimer // Quart. J. Roy. Meteorol. Soc. 2001. V. 127. P. 1627–1643.
2. Daniel J.S., Solomon S., Sanders R.W., Portmann R.W., Miller D.C. Implication for water monomer and dimer solar absorption from observations at Boulder, Colorado // J. Geophys. Res. 1999. V. 104. P. 16785–16791.
3. Kjaergaard H.G., Robinson T.W., Howard D.L., Daniel J.S., Headrick J.E., Vaida V. Complexes of Importance to the Absorption of Solar Radiation // J. Phys. Chem. A. 2003. V. 107. P. 10680–10686.
4. Goldman N., Leforestier C., Saykally R.J. Water dimers in the atmosphere. II. Result from the VRT (ASP-W) III potential surface // J. Phys. Chem. A. 2004. V. 108. N 5. P. 787–794.
5. Penner S.S., Varanasi P. Spectral absorption coefficient in the pure rotational spectrum of water vapor // J. Quant. Spectrosc. and Radiat. Transfer. 1967. V. 7. 687–690.
6. Devir A.D., Neumann M., Lipson S.G., Oppenheim Uri P. Water vapor continuum in the 15- to 25- $\mu\text{m}$  spectral region: Evidence for  $(\text{H}_2\text{O})_2$  in the atmosphere // Opt. Eng. 1994. V. 33. P. 746–750.
7. Clough S.A., Kneizys F.X., Davies R.W. Line shape and water vapor continuum // Atmos. Res. 1989. V. 23. P. 229–241.
8. Mlawer E.J., Tobin D.C., Clough S.A. A Revised Perspective on the Water Vapor Continuum: The MT\_CKD Model // J. Quant. Spectrosc. and Radiat. Transfer. 2005. In preparation.
9. Mlawer E.J., Clough S.A., Brown P.D., Tobin D.C. Collision-induced effects and the water vapor continuum // Eight ARM Science Team Meeting Proceedings. March 23–27. 1998. Dept. Of Energy. Tucson. Arizona. P. 503–511.
10. Mlawer E.J., Clough S.A., Brown P.D., Tobin D.C. Recent developments in the water vapor continuum // Ninth ARM Science Team Meeting Proceedings. March 22–26. 1999. San Antonio. TX. P. 1–6.
11. Burch D.E. Continuum absorption by  $\text{H}_2\text{O}$  // AFGL-TR-81-0300.
12. Burch D.E. and Alt R.L. Continuum absorption in the  $700\text{--}1200\text{ cm}^{-1}$  and  $2400\text{--}2800\text{ cm}^{-1}$  windows // AFGL-TR-84-0128.
13. Tobin D.C., Strow L.L., Lafferty W.J., Olson W.B. Experimental investigation of the self- and  $\text{N}_2$ -broadened continuum within the  $v_2$  band of water vapor // Appl. Opt. 1996. V. 35. N 24. P. 4724–4734.
14. Pfeilsticker K., Lotter A., Peters C. and Bosch H. Atmospheric detection of water dimers via near-infrared absorption // Science. 2003. V. 300. P. 2078–2080.
15. Ptashnik I.V., Smith K.M., Shine K.P., Newnham D.A. Laboratory measurements of water vapour continuum absorption in spectral region  $5000\text{--}5600\text{ cm}^{-1}$ : Evidence for water dimers // Quart. J. Roy. Meteorol. Soc. 2004. V. 130. P. 2391–2408.
16. Schofield D.P., Kjaergaard H.G. Calculated OH-stretching and HOH-bending vibrational transitions in the water dimer // Phys. Chem. Chem. Phys. 2003. V. 5. P. 3100–3105.

17. *Burch D.E.* Absorption by H<sub>2</sub>O in narrow windows between 3000–4200 cm<sup>-1</sup> // AFGL-TR-85-0036.
18. *Rothman L.S., Jacquemart D., Barbe A., Chris Benner D., Birk M., Brown L.R., Carleer M.R., Chackelian C., Jr., Chance K., Dana V., Devi V.M., Flaud J.-M., Gamache R.R., Goldman A., Hartmann J.-M., Jucks K.W., Maki A.G., Mandin J.-Y., Massie S.T., Orphal J., Perrin A., Rinsland C.P., Smith M.A.H., Tennyson J., Tolchenov R.N., Toth R.A., Vander Auwera J., Varanasi P., Wagner G.* The HITRAN 2004 Molecular Spectroscopic Database // Submitted to J. Quant. Spectrosc. and Radiat. Transfer. 2004.
19. *McClatchey R.A., Benedict W.S., Clough S.A., Burch D.E., Calfee R.F., Fox K., Rothman L.S., Garin J.S.* AFCRL Atmospheric absorption line parameters compilation // AFCRL-TR-73-0096. 1973. U.S. Air Force.

**I.V. Ptashnik. Water dimers: an «unknown» experiment.**

It is shown that reliable evidences of significant contribution of water dimer absorption to the water vapour continuum in the spectral range 3000–4200 cm<sup>-1</sup> can be revealed from the well-known measurements of Burch.